

# **أثر التعرية في تكوين فيضات الهضبة الغربية في محافظة النجف الاشرف**

**الباحث**

**سatar Jaber Hreibid**

**الأستاذ الدكتور**

**عайд جاسم حسين الزاملي**

**جامعة الكوفة - كلية الآداب**

**The effect of erosion in forming the floods of the western hill in Al-Najaf Alashraf**

**Researcher**

**Sattar Jaber Hreibid**

**Asst. Prof. Dr.**

**Ayed Jassim Hussain ALzamili**

**Faculty of Arts University of Kufa**

**University of Kufa - Faculty of Arts**

**Alsattar41@gmail.com**

**ayyed.alzamili@uokufa.edu.iq**

**Abstract:**

The study deals with the effect of winds and water in forming the floods of the western hill in Al-Najaf Alashraf. The number of floods of the study area reached to (48) floods, that covered 271,908679 KM with a ratio of 1%, from the total of the study area, which in total covers 25860274602 KM, where the most of them are located in the middle of the study area and reaching to the borders of Saudi Arabia rather than exciting at the end of the floods or the convergence of some rivers that pour in a higher river (map 1). The water income reached (0,611650111) billion meters, while in 2013 which considered to be a wet year the water income reached to (1,026961743) billion meters, where the erosion of winds was reported to be (1259)cm/m/year which means that the floods of the study area need (794) years to decrease in one cubic meter. Where the water erosion was reached (5,4487)cm/m/year which means that the floods decrease one meter for each (183530) years, this means that the floods of the study area have been formed due to many operations including the winds and water erosion but the winds erosion plays the crucial role here.

**Keywords:** Floods, winds erosion, water erosion, rain erosion, river sedimentation.

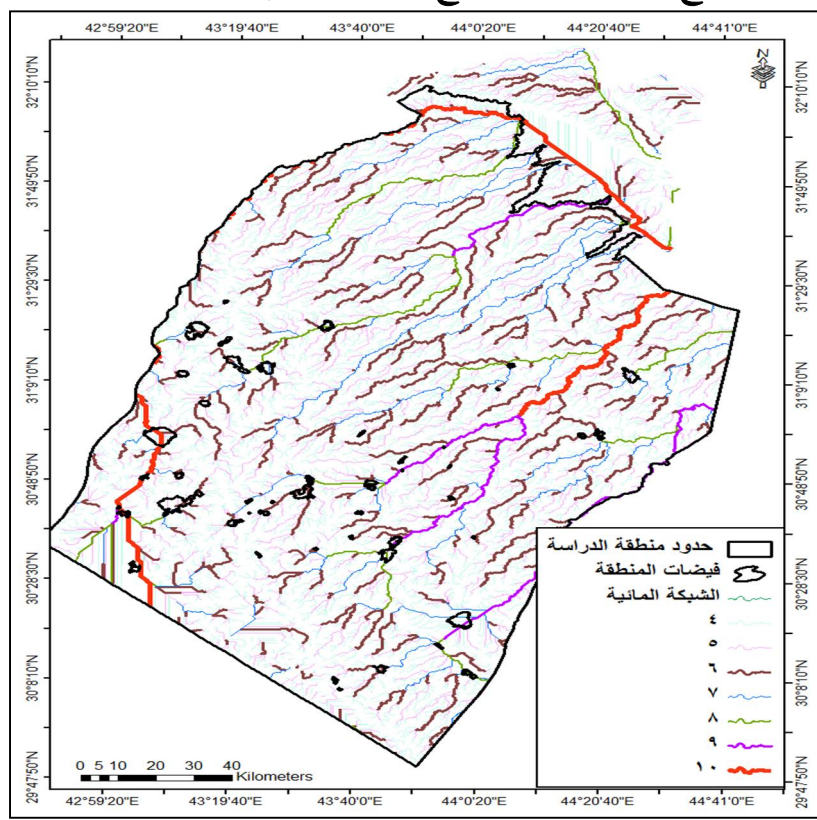
**المؤخص :**

تناولت الدراسة أثر الرياح والمياه في تكوين فيضات الهضبة الغربية لحافظة النجف، إذ بلغ عددها (48) فيضة، ومساحة تقدر بـ (٢٧١,٩٠٨٦٧٩) كم٢ وبنسبة (١٪) من المساحة الكلية لمنطقة الدراسة والبالغة (٢٥٨٦٠) كم٢، ان غالبيتها تقع من منتصف المنطقة إلى الحدود مع المملكة العربية السعودية، فضلاً عن أنها تقع عند نهايات الوديان أو التقاء المراتب النهرية التي تصب في مرتبة أعلى (خريطة - ١)، وبلغ حجم الأيراد المائي (٠,٦١١٦٥٠١١١) مليار م٣، أما خلال سنة ٢٠١٣ باعتبارها سنة رطبة فقد بلغ الأيراد المائي (٠,٢٦٩٦١٧٤٣) مليار م٣، بلغت تعرية الرياح (١٢٥٩) سم/٣ م/سنة هذا يعني ان فيضات منطقة الدراسة تحتاج مدة تقدر بـ (٧٩٤) سنة لكي تنخفض متراً مكعب واحد، أما تعرية المياه فقد بلغت (٥,٤٤٨٧) سم/٣ م/سنة أي تنخفض الفيضات واحد متراً لكل (١٨٣٥٣٠) سنة . هذا يعني ان فيضات منطقة الدراسة تشكلت نتيجة عدة عمليات منها تعرية المياه والرياح وان تعرية الرياح تسهم بالدور الأكبر..

**الكلمات المفتاحية :** الفيضات ، التعرية الريحية ، التعرية المائية ، التعرية المطرية ، الترسيب النهري .

(33) أثر التعرية في تكوين فيضات الهضبة الغربية

(خريطة - ١) موقع منطقة الدراسة وموقع الفيضات ضمن الشبكة المائية لمحافظة النجف



المصدر : من عمل الباحث بالاعتماد على خرائط الارتفاع الرقمي (Dem) والهيئة العامة للمساحة، خريطة محافظة النجف الإدارية، بغداد، ٢٠٠٦، مقياس ١:٥٠٠٠٠٠، وبرنامج Arc map 9.3.

**مشكلة الدراسة :** هل للتعرية الريحان والمياه أثر في تكوين الفيضات ؟

**فرضية الدراسة :** تأثير التعرية الريحان والمائية في تكوين الفيضات لأنهما عاملان نشطان في منطقة الدراسة وهذا بدوره يؤدي إلى تكوين الفيضات .

**هدف الدراسة :** معرفة الأثر الذي تشكله التعرية الريحان والمائية في تكوين الفيضات.

**حدود منطقة الدراسة :** تقع منطقة الدراسة ضمن الهضبة الغربية لمحافظة النجف الأشرف، بين دائريتي عرض ( $32^{\circ}09'48''$ - $32^{\circ}29'48''$  شمالاً) وبين خطى طول ( $42^{\circ}42'01''$ - $44^{\circ}42'42''$  شرقاً) (خريطة - ١).

## أثر التعرية في تكوين فيضات الهضبة الغربية (34)

**منهجية الدراسة :** تمت الدراسة على وفق المنهج الوصفي التحليلي وبالأسلوب الكمي باستخدام نظم المعلومات الجغرافية فضلاً عن الدراسة الميدانية .

### تمهيد

ستتناول هذه الدراسة أثر التعرية الريحية والمائية في تكوين فيضات الهضبة الغربية لمحافظة النجف، اذ سيتم تقسيم الدراسة إلى جزأين، الجزء الأول سيتناول تعرية الرياح، أما الجزء الثاني سيتناول تعرية المياه وكما يأتي :-

### ١- التعرية الريحية

تلخص عمليات التعرية في نحت الصخور ثم نقلها من أماكنها الأصلية، ومن ثم ترسيبها في أماكن جديدة، ويعني هذا أن التعرية تؤدي وظيفتين متعارضتين الأولى الهدم والثانية البناء، وبين الهدم والبناء النقل<sup>(ص ٢١٥)</sup>.

تقوم الرياح بفتح صخور منطقة الدراسة باعتبارها من المناطق الجافة قليلة الأمطار والغطاء النباتي، ويساعدها في هذه العملية حمولتها من الحبيبات التي تتراوح أقطارها ما بين (٧٥ - ٠٠٤) ملم (جدول - ١)، اذ تحمل الرياح الذرات الأكبر حجماً بالقرب من سطح الأرض وهي الأشد تأثيراً في نحت الصخور، أما الذرات الدقيقة تنقلها الرياح إلى أماكن أخرى وهي التي تسهم في عملية تفريغ محتوى الفيضات من الذرات الأقل من واحد ملم، اذ تعتمد على سرعة الرياح وحجم الدفائق التي تجهزها عمليات التجوية، فضلاً عن قلة محتوى التربة من الرطوبة وانعدام الغطاء النباتي خلال أشهر الصيف، ولتقدير التعرية الريحية، لابد من التطرق للعوامل المؤثرة فيها اذ تعتمد عمليات التعرية في المناطق الجافة ومنها منطقة الدراسة على عاملين

### (الجدول - ١) النسب المئوية لحبوب التربة (ملم)

نسبة الفيضة	النوع	٠,٣٦ ملم	٠,١٢ ملم	٠,٦٦ ملم	٠,٧٥ ملم	١ أكثر من ١ ملم
الصدمة	الرديقة	٤٢,٨	٢٦,٦	٨,٤	٤١,٤	١٩,٣
الصعابية	الطلعات	٧,٧٢	٦,٣٦	٦,٣٦	٣٨,٦٤	٢٧,٨٨
الجماعية	الحمام	١,٧٦	١,٥٢	١,٥٢	٥٧,٦	٣٠,٣٨
أم حضبورة	بربر	١,٣	٠,٢٢	٠,٢٢	٤١,٣٢	٤٥,٠٢
الجاقية	الصيكلال	٢,٩٤	١,٠٢	١,٠٢	٨,٢٨	٦١,٤٦
الحمام	واكصة	٢,٩٤	١٩,٦٢	١٩,٦٢	٢٠,٩٤	٢٧,٠٨
بربر	الجل	٢,٩٤	١٥,٦٦	١٥,٦٦	١٥,٢٨	٤٦,٢٤
الصيكلال	الحنويات	٦,٤٤	١٢,١٥	١٢,١٥	١٤,١٢	٢٩,١١
واكصة	أم الهاشيم	٧,٨٨	١٠,١٤	١٠,١٤	١٣,٧٠	٤١,٦٥
الجل		٧,٨٨	٥,٦٦	٥,٦٦	١٤,٥٠	٤٦,٧٨
الحنويات		٠,٧٤	١١,٥٥	١١,٥٥	٢٢,٧٠	٣٦,١٧
أم الهاشيم		٣,١٦	٢,٣٣	٢,٣٣	٧,٣٣	٦٣,١٧

### (35) أثر التعرية في تكوين فيضات الهضبة الغربية

ال المصدر: من عمل الباحث في مختبر كيمياء التربة في كلية الزراعة جامعة الكوفة

رئيسين هما :-

١- العامل المناخي : الذي يتمثل بالقيمة الفعلية للأمطار، والتي تأثر بكمية المحتوى الرطوي للطبقة السطحية للفيضانات، فضلاً عن سرعة الرياح اللازمة لرفع الدقائق المفكرة، يطلق على هذا العامل القابلية المناخية للتعرية .

٢- عامل التربة : فهو النسبة المئوية لأقطار حبيبات الطبقة السطحية للفيضانات غير القابلة للتعرية الريحية، والتي يزيد قطرها عن واحد ملم، يطلق على هذا العامل قابلية التربة للتعرية (٤١٤ ص ٩٣) .

تم الاعتماد على معادلة منظمة الغذاء والزراعة الدولية (F.A.O) لتقدير القابلية المناخية للتعرية وهي كما يأتي (٩٣ ص ٣٢) :-

$$C = \sum_{12} \frac{V^3}{100} \left( \frac{PET - P}{PET} \right) n$$

اذا تعني :-

C = القابلية المناخية السنوية للتعرية الريحية .

V = المعدل الشهري لسرعة الرياح متر / ثانية

PET = المعدل الشهري للتبخّر / التتح الممكّن بـ ملم .

P = كمية التساقط الشهري بـ ملم

n = عدد أيام الشهر .

تم تعويض متغيرات المعادلة من (جدول - ٢)، أما التبخّر / التتح الممكّن فقد تم استخراجه من معادلة ايفانوف التي تعتمد في قياس التبخّر / التتح المتحمل على درجة الحرارة والرطوبة النسبية وهي وكما يأتي :-

$$ET = 0.0018(T+25)^2 (100-A)$$

اذا تعني :-

E = التبخّر / التتح المتحمل بـ ملم .

T = معدل درجة الحرارة (م) .

A = المتوسط الشهري للرطوبة النسبية (%) .

### أثر التعرية في تكوين فيضات الهضبة الغربية

(36)

بعد تطبيق معادلة منظمة الغذاء والزراعة الدولية (F.A.O) لتقدير القابلية المناخية للتعرية، فقد قدر مجموعها (١٢٥,٣٨) (جدول - ٣)، وهي بهذا تقع ضمن التعرية العالية (جدول - ٤) أما على مستوى الأشهر فقد سجل شهر حزيران وتموز أعلى درجة إذ بلغت (١٩,٢) ، (١٨,٣٨) على التوالي، وكانت

(جدول - ٢) معدل العناصر المناخية في محطة النجف المناخية للمدة (٢٠١٦-١٩٨٦)

العنصر	يناير	فبراير	مارس	أبريل	مايو	يونيو	يوليو	آب	سبتمبر	أكتوبر	نوفember	ديسمبر	معدل الحرارة °م	معدل مطر الملم	معدل رياح م/ثا	الرطوبة %	الانبعاث ملم	معدل التبغ ملم
	24.9	12.6	17.7	28	32.4	37.1	37.7	35.2	31	24.8	18.2	13.7	10.8					
معدل مطر الملم	3.25	2.5	2.4	2.7	3.1	3.3	3.9	4	3.7	3.6	3.5	3.2	2.7					
معدل رياح م/ثا	42.6	65	57	40	29	24	23	25	32	42	49	58	67					
الرطوبة %	94.5	14.3	17.3	5.2	0	0	0	0	3.1	13.6	12.1	13.3	15.6					
الانبعاث ملم	3513.2	90.2	135.5	262.6	374.7	514	543.5	502.4	401.1	280.4	202.8	120.8	85.2					
معدل التبغ ملم																		

المصدر وزارة النقل والمواصلات الهيئة العامة للأتواء الجوية والرصد الزلزالي قسم المناخ بيانات غير منشورة للمدة من (٢٠١٦-١٩٨٦) .

أدنى نسبة خلال شهر تشرين الثاني اذ بلغت (٣,٦٤) درجة، ان ارتفاع التعرية سواء كانت من حيث المجموع او من حيث الارتفاع على مستوى بعض الأشهر هو نتيجة قلة الأمطار والتي بلغت في شهر حزيران وتموز (صفر) ملم، فضلاً عن ارتفاع التبخر الذي بلغ (٥٠٢,٤) ، (٥٠٣,٥) ملم، أضعف إلى ذلك ارتفاع سرعة الرياح والتي بلغت (٤، ٣,٩) م/ثا، فضلاً عن قلة الرطوبة النسبيّة خلال أشهر الصيف والتي بلغت (٢٥ ، ٢٣ ، ٢٤ ، ٢٩) % على التوالي (جدول - ٢)، فضلاً عن اختفاء الغطاء النباتي لنفس الشهرين السابقين، أدى كل ذلك إلى جفاف حبيبات التربة ومن ثم تفككها وبالتالي انتقالها بكثرة عالية حسب مؤشر القابلية المناخية للتعرية الرياح لمنظمة الغذاء والزراعة الدولية (F.A.O) (جدول - ٣) والعكس تماماً في شهر تشرين الثاني باعتباره أقل درجة وهذا نتيجة زيادة المحتوى الرطوي للتربة نتيجة زيادة كمية الأمطار البالغة (١٧,٣) ملم وقلة التبخر والبالغ (١٣٥,٥) ملم فضلاً عن قلة سرعة الرياح والتي بلغت (٢,٤) م/ثا . وتم الاعتماد على معادلة (Shiyaty) لتقدير قابلية التربة للتعرية في فيضات المنطقة وهي كما يأتي :-

**(جدول - ٣) التبخر النتج الممكن لمحطة النجف بالملم والمعدلات الشهرية والسنوية  
للقابلية المناخية المؤثرة في تعرية الرياح**

الشهر	التبخر / النتج الممكن (ملم)	القابلية المناخية	النسبة المئوية %
يناير	٧٦,١٣	٤,٨٥	٠,٠٤٨٥
شباط	١١٣,٢٢٥	٨,٤	٠,٠٨٤
مارس	١٧١,٣٢	١٢,٣٥	٠,١٢٣٥
نيسان	٢٥٨,٩٢	١٣,٦٦	٠,١٣٦٦
مايو	٢١٣,٢٥	١٥,٤٧	٠,١٥٤٧
حزيران	٢٧١,٨	١٩,٢	٠,١٩٢
تموز	٥٤٤,٨٧	١٨,٣٨	٠,١٨٣٨
آب	٥٢٧,٥٦	١١,١٤	٠,١١١٤
أيلول	٤٢١,٠٣	٨,٩٣	٠,٠٩٣
أكتوبر	٣٠٣,٣٧	٥,٩٩	٠,٠٥٩٩
نوفمبر	١٤١,١٢	٣,٦٤	٠,٠٣٦٤
ديسمبر	٨٩,٠٧	٤,٠٧	٠,٠٤٠٧
المجموع	٣١٣١,٦٤	١٢٥,٦٨	١,٢٥٦٨

المصدر : من عمل الباحث بالأعتماد على بيانات (جدول - ٢)

**(جدول - ٤) مؤشر القابلية المناخية للتعرية الرياح حسب معادلة منظمة الغذاء والزراعة  
الدولية (F.A.O)**

المعامل	درجة التعرية
تعرية قليلة	أقل من ٢٠
تعرية متوسطة	٢٠ - ٤٠
تعرية عالية	٤٠ - ٦٠
تعرية عالية جداً	أكثر من ٦٠

$$i = 10^{(4.03691 - 0.0384)s}$$

اذا تعني :-

= قابلية التربة للتعرية بالغرام لكل متر مربع في السنة الواحدة .

S = النسبة المئوية لحبوبات التربة والتي يزيد قطرها عن واحد ملم وكما هو موضح في الجدول (١) .

وعند تطبيق معادلة (Shiyaty) على فيضات المنطقة، اتضح ان أعلى معدل لقابلية حبيبات التربة للتعرية بواسطة الرياح هو (١٩٧٢,٥٢) غم / م٣ / سنة في فيضة

أثر التعرية في تكوين فيضات الحبيبات الغربية ..... (38)

الصادمة، (جدول - ٥) وكانت النسب المئوية لحببيات تربتها الغير قابلة للتعرية وذوات الأقطار الأكبر من واحد ملم (١٩.٣٢) ملم، أما أدنى معدل فقد سجل (٣٤.٧٤) غم / م<sup>٢</sup>/ سنة في فيضة الرديفة، وكانت النسب المئوية للحببيات تربتها الغير قابلة للتعرية وذوات الأقطار الأكبر من واحد ملم (٦٥) ملم، جدول (١)، تشير هذه النتائج إلى أن هناك علاقة ارتباط عكسية بين حجم الحبيبات الغير قابلة للتعرية وقابلية التربة للتعرية، إذ ترتفع قابلية التربة للتعرية كلما صغر حجم حبيبات التربة الغير قابلة للتعرية وتقل كلما كبر حجم الحبيبات .

تم الاعتماد على هذه المعادلة ( $E=IC$ )<sup>(٤)</sup> لتقدير الكميات الشهرية والسنوية للحببيات التي تنقلها

(جدول - ٥) المعدلات الشهرية لقابلية حبيبات تربة فيضات منطقة الدراسة للتعرية

بواسطة الرياح

ن	اسم الفيضة	قيالية حبيبات تربة فيضات المنطقة للتعرية بواسطة الرياح	طن / هكتار / سنة	غم / م <sup>٢</sup> / سنة	طن / هكتار / سنة
١	الصادمة		١٩٧٢,٥٢	١٩,٧٢	
٢	الرديفة		٣٤,٧٤	٠,٣٤٧	
٣	الصاعية		٩٢٥,٣٦	٩,٢٥	
٤	الطلعات		٧٤١,٥٨	٧,٤١	
٥	الجماعية		٢٠,٣	٢,٠٣	
٦	أم حضيرة		٤٧,٥٢	٠,٤٧	
٧	البحاقية		٩٩٣,٢	٩,٩٣	
٨	الحمام		٥٣٠,١٤	٥,٣٠	
٩	بربر		٦٣٦,٦٣	٦,٣٦	
١٠	الصيكال		٣٧٢,٢٣	٣,٧٢	
١١	واكصة		٩٦١,٦٥	٩,٦١	
١٢	الجل		١١٧٤,٨٩	١١,٧٤	
١٣	الطويات		٨٣٠,٠٢	٨,٣٠	
١٤	أم الهشيم		١٣٠٢,٩٤	١٣,٠٢	

الرياح من فيضات منطقة الدراسة وهي كما يأتي :-

اذا تعني :-

$E$  = الكميات الشهرية والسنوية للحببيات التي تنقلها الرياح .

$I$  = معامل قابلية التربة للتعرية طن لكل هكتار في السنة .

$C$  = معامل القابلية المناخية السنوية والشهرية للتعرية .

أثر التعرية في تكوين فيضات الهضبة الغربية ..... (39)

حسب هذين المعاملين تحتاج هذه المعادلة إلى معامل قابلية التربة للتعرية و معامل القابلية المناخية للتعرية اذ تم استخراج هذين المعاملين .

يتضح من الجدول (٦) والشكل (١) وإن المجموع السنوي لكميات الحبيبات التي تنقلها

(جدول - ٦) الكميات الشهرية والسنوية للحبيبات التي تنقلها الرياح من فيضات منطقة

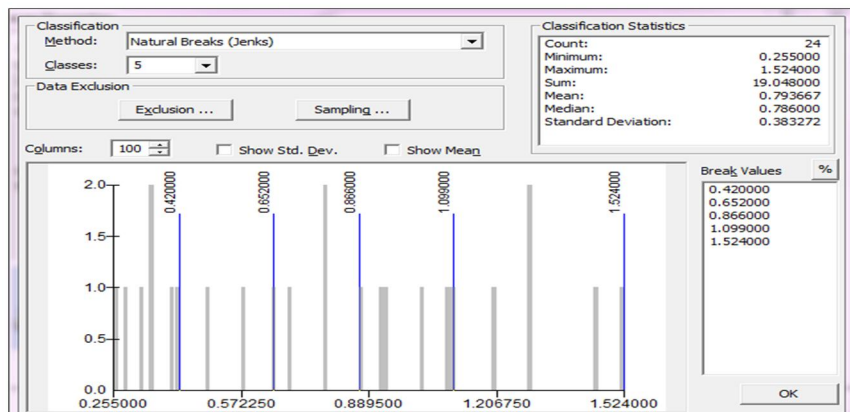
الدراسة

الشهر	الفيضنة	الصادمة	الرديفة	الصعابية	الطلحات	الجماعية	أم حضبوبة	الجحافلية	المعدل / المجموع
يناير	٠,٩٥٦	٠,٠١٦	٠,٠٤٨	٠,٣٥٩	٠,٩٨	٠,٠٩٨	٠,٠٢٢	٠,٤٨١	٠,٢٨٢
شباط	١,٥٩٧	٠,٠٢٩	٠,٧٧٧	٠,٦٢٢	٠,١٧٠	٠,٠٣٩	٠,٠٣٤	٠,٨٣٤	٠,٥٨١
مارس	٢,٤٣٥	٠,٠٤٢	١,١٤٢	٠,٩١٥	٠,٢٥٠	٠,٠٥٨	٠,٢٢٦	١,٢٢٦	٠,٨٦٦
نيسان	٢,٦١٤	٠,٠٤٦	١,٢٢٦	٠,٩٨٢	٠,٣١٤	٠,٠٧٢	٠,٣١٦	١,٣١٦	١,٠٨٥
مايوس	٣,٠٥	٠,٠٥٣	١,٤٣	١,١٤٦	١,١٤٦	٠,٣١٤	٠,٠٧٢	١,٥٣٦	١,٠٨٥
حزيران	٣,٧٨٦	٠,٠٦٦	١,٧٧٦	١,٤٢٢	١,٤٢٢	٠,٣٨٩	٠,٠٩٠	٠,٩٠٦	١,٢٠٥
تموز	٣,٦٢٤	٠,٠٦٣	١,٧٠	١,٣٦١	١,٣٦١	٠,٣٧٣	٠,٠٨٦	١,٨٢٥	١,٢٩٠
آب	٢,١٤٦	٠,٠٣٨	١,٥٤	٠,٨٢٥	٠,٨٢٥	٠,٢٢٦	٠,٠٥٢	١,١٦	٠,٧٨٥
أيلول	١,٨٤٣	٠,٠٣٢	٠,٨٦٠	٠,٦٨٩	٠,٦٨٩	٠,١٨٨	٠,٠٤٣	٠,٩٢٣	٠,٦٥٢
أكتوبر	١,١٨١	٠,٠٢٠	٠,٥٥٤	٠,٤٤٣	٠,٤٤٣	٠,١٢١	٠,٠٢٨	٠,٥٩٤	٠,٤٢٠
نوفمبر	٠,٧١٧	٠,٠١٢	٠,٣٨٦	٠,٢٦٩	٠,٢٦٩	٠,٠٧٣	٠,٠١٧	٠,٣٦١	٠,٢٥٥
ديسمبر	٠,٨٠٢	٠,٤٣٥	٠,٣٧٦	٠,٣٠١	٠,٣٠١	٠,٠٨٢	٠,٠١٩	٠,٤٠٤	٠,٣٤٦
المجموع / المعدل	٢٤,٧٩١	٠,٨٥٢	١١,٢٠٤	٩,٣٣٤	٢,٥٥٣	٠,٥٨٨	١١,٥١٢	٨,٦٩٠	
الشهر	الفيضنة	الحام	بربرير	الصيكلال	واكصة	الجل	الطويات	أم الهشيم	المعدل / المجموع
يناير	٠,٢٥٧	٠,٣٠٨	٠,١٨٠	٠,٤٦٦	٠,٥٦٩	٠,٤٠٢	٠,٦٣١	٠,٤٠١	
شباط	٠,٤٤٥	٠,٥٣٤	٠,٣١٢	٠,٨٠٧	٠,٩٨٦	٠,٦٩٧	٠,٩٣	١,٠٩٣	
مارس	٠,٦٥٤	٠,٧٨٥	٠,٤٥٩	١,١٨٦	١,٤٤٩	١,٠٢٥	١,٦٧	١,٠٢٣	
نيسان	٠,٧٠٢	٠,٨٤٣	٠,٤٩٣	١,٢٧٤	١,٠٥٦	١,١٠٠	١,٧٢٦	١,٠٩٩	
مايوس	٠,٨١٩	٠,٥٧٥	٠,٥١٢	١,٥١٢	١,٢٨٤	١,٢١٤	١,٢٨٢	١,٢٨٢	
حزيران	٠,٠١٧	١,٢٢١	٠,٧١٤	١,٨٤٥	٢,٢٥٤	١,٥٩٣	٢,٦٩٩	٢,٦٦٩	
تموز	٠,٩٧٩	١,١٦٨	٠,٦٨٣	١,٧٦٦	٢,١٥٧	١,٥٢٥	٢,٣٩٣	١,٥٢٤	
آب	٠,٥٩٠	٠,٧٠٨	٠,٤١٤	١,٠٧٠	١,٣٠٧	١,٩٢٤	١,٤٥٠	١,٩٢٣	
أيلول	٠,٤٤٢	٠,٥٩١	٠,٣٤٥	١,٠٩٣	١,٧٧١	١,٢١٠	١,٢٨٧	١,٢٨٧	
أكتوبر	٠,٣١٧	٠,٣٨٠	٠,٢٢٢	٠,٥٧٥	٠,٧٠٣	٠,٦٩٧	٠,٧٧٩	٠,٦٩٦	
نوفمبر	٠,١٩٢	٠,٢٣١	٠,٢٣١	٠,٣٤٩	٠,٤٢٧	٠,٣٠٢	٠,٤٧٣	٠,٣٢٢	
ديسمبر	٠,٢١٥	٠,٢٥٨	٠,١٥١	٠,٣٩١	٠,٤٧٧	٠,٣٣٧	٠,٥٢٩	٠,٣٤٥	
المجموع / المعدل	٦,٦٧٩	٨,٠١	٤,٦٨٣	١٢,١٣٤	١٤,٧٤٢	١٠,٤٥٧	١٠,٤٥١	١٦,٤٠٤	
المجموع الكلي	٣١,٤٧	٨,٨٦٢	١٥,٨٨٧	٢١,٤٦٨	١٧,٣٤٥	١١,٠٤٥	٢٧,٩١٦	٢٩,٤٨	

الرياح من فيضات منطقة الدراسة قد بلغ (١٩٠٤٨) طن / هكتار/سنة، وتتبادر معدلاتها الشهرية فتكون أعلى ما يمكن خلال شهر تموز حيث بلغت (١٢٩٠) طن / هكتار، و تعد هذه النتيجة منطقية لارتفاع سرعة الرياح التي سجلت (٣٩) م/ثا، وارتفاع درجات الحرارة التي بلغت (٣٧,٧) م، والتي كان نتيجتها ارتفاع التبخر والذي بلغ (٥٤٣,٥) ملم، فضلاً عن اختفاء النباتات الطبيعية، كل ذلك ساعد على تفكك حبيبات التربة ومن ثم انتقالها بواسطة الرياح، في حين كانت أوطأ ما يكون خلال شهر تشرين ثاني حيث بلغت (٠٢٥٥) طن / هكتار/سنة لانخفاض سرعة الرياح التي سجلت (٢,٤) م/ثا، وانخفاض درجات الحرارة التي بلغت (١٧,٧) م، والتي كان نتيجتها انخفاض التبخر والذي بلغ (١٣٥,٥) ملم، الذي ساعد على توفر المياه ومن ثم نمو النباتات الطبيعية وهي بدورها ثبتت حبيبات التربة .

ان اجتماع العوامل السابقة ساعد على نحت كمية كبيرة من دقائق التربة ومن ثم نقلها إلى أماكن أخرى، ونشطة عمليات النقل بواسطة الرياح منذ بداية عصر الهولوسين وهي مستمرة لحد الآن، فضلاً عن العوامل السابقة التي ساعدت الرياح على ان تقوم بعملها وجد ان هناك تطابق بين محاور اتجاه فيضات

**(شكل - ١) الكميات الشهرية والسنوية للحبيبات التي تنقلها الرياح من فيضات منطقة الدراسة**



المصدر من عمل الباحث: بالاعتماد على جدول (٦) وباستخدام برنامج Arc map

. 9.3

(صورة - ١) كميات الحبيبات التي تنقلها الرياح من فيضات منطقة الدراسة



التقطت بتاريخ ٢٠١٧/٩/١٣

المنطقة مع اتجاه الرياح (جدول - ٧) و (شكل - ٢)، خصوصاً في الزاوية (٤٠ - ٤٩°)، وفي الاتجاه الشمالي الغربي وهو الاتجاه السائد، اذ شكلت نسبة (١٤,٥٨٪) من اتجاه الرياح الكلية .

## ٢- التعرية المائية والأشكال الأرضية الناتجة عنها

لتعرية المائية أهمية كبيرة في منطقة الدراسة، باعتبارها العملية الجيومورفية الثانية بعد التعرية الريحية

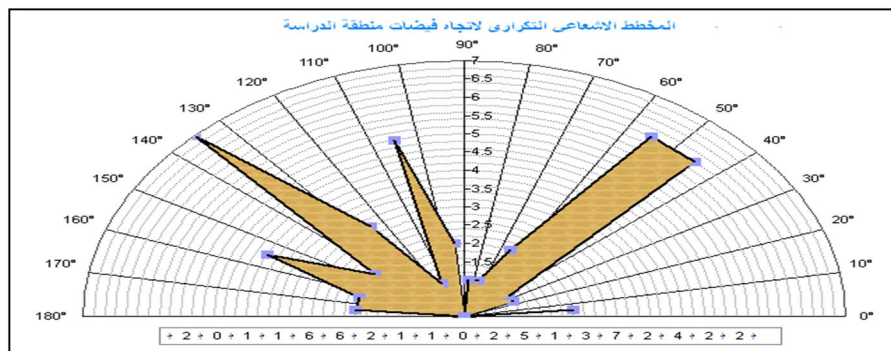
### (جدول - ٧) التكرارات العددية والنسبة المئوية لاتجاه الفيضات

النسبة المئوية %	النكرار العددي	الاتجاه بالدرجات	
		الشمالي الشرقي	الشمالي الغربي
٢,٠٨	١	٩٠ - ٨٠	
٢,٠٨	١	٧٩ - ٧٠	
٤,١٦	٢	٦٩ - ٦٠	
١٢,٥	٦	٥٩ - ٥٠	
١٢,٥	٦	٤٩ - ٤٠	
٢,٠٨	١	٣٩ - ٣٠	
٢,٠٨	١	٢٩ - ٢٠	
—	—	١٩ - ١٠	
٤,١٦	٢	٩ - ٠	
٤١,٦٤	٢٠	المجموع	
النسبة المئوية %	النكرار العددي	الشمالي الغربي	
		الشمالي الغربي	الشمالي الشرقي
٤,١٦	٢	٩٠ - ٨٠	
١٠,٤١	٥	٧٩ - ٧٠	
٢,٠٨	١	٦٩ - ٦٠	
٦,٢٥	٣	٥٩ - ٥٠	
١٤,٥٨	٧	٤٩ - ٤٠	
٤,١٦	٢	٣٩ - ٣٠	
٨,٣٣	٤	٢٩ - ٢٠	
٤,١٦	٢	١٩ - ١٠	
٤,١٦	٢	٩ - ٠	
٥٨,٢٩	٢٨	المجموع	
٥١٠٠	٤٨	المجموع الكلي	

المصدر : من عمل الباحث بالاعتماد على DEM الارتفاعات الرقمية وباستخدام

Arc Gis 9.3

**(شكل - ٢) المخطط الإشعاعي التكراري لاتجاه فيضات المنطقة**



المصدر : من عمل الباحث بالاعتماد على جدول (٧) وباستخدام برنامج Arc map 9.3

التي أسهمت في تشكيل فيضات المنطقة، من خلال النظر إلى جدول (٢) نلاحظ ان المنطقة تتعرض إلى سقوط أمطار قليلة، لكن رغم قلتها تسقط بغزارة وخلال مدة قصيرة، مما يؤدي إلى تكوين سيول تمتلئ الأودية بالمياه لمدة من الزمن تؤدي إلى تعرية سطح الفيضات، اذ تعمل على تفتيت ونقل المواد المفتتة من تربة وفترات صخري عندما يكون الجريان السطحي في طاقته القصوى، يساعده في ذلك اندار السطح وقلة الغطاء النباتي، إذ تعد منطقة الدراسة فقيرة نسبياً بالنبات الطبيعي، وتسود فيها الترب الرملية المفككة، وفي نهايات الوديان تراجع طاقة المياه، وتقل قوتها على حمل المفتتات مما تؤدي إلى ترسيب جزء منها في الفيضات وخصوصاً الرواسب الدقيقة . وتم عملية التعرية المائية بعدة طرق منها :-

**أ - التعرية المطرية :** تسقط قطرات المطر الكبيرة الحجم التي تصاحب العواصف المطرية بشدة على سطح التربة، ينتج عنها تفتت بناء الطبقة العليا من التربة، ويقدر الباحثين ان عاصفة مطرية واحدة تستطيع ان تشير ١٠٠ طن من التربة لكل فدان<sup>(٣٣٧) ص</sup>، وتكون لهذه العملية تأثير قوي في منطقة الدراسة، لأن تربتها من مواد رملية مزيجية ومزيجية غريبة مع احتوائها على نسب قليلة من الطين، وهذا واضح في

**أثر التعرية في تكوين فيضات الهضبة الغربية ..... (43)**

ترابة بطون الوديان التي تكون قليلة التماسك وجافة طوال أشهر السنة، فضلاً عن ذلك قليلة الغطاء النباتي .

تم تقدير قابلية الأمطار على التعرية في منطقة الدراسة بالاعتماد على معادلة فورنيه – أرنولدس F.A.I التالية<sup>(٨٣)</sup> :

$$A.F.I = \frac{(P_i)^2}{P}$$

A.F.I = قابلية المطر على التعرية .

P<sub>i</sub> = كمية المطر الشهرية ملم .

P = مجموع الأمطار السنوية ملم .

لتطبيق هذه المعادلة، تحتاج إلى متغيرين هما مجموع الأمطار السنوية ومجموع الأمطار الشهرية، وقد تم الحصول عليهما من محطة النجف المناخية الجدول (٢) .

ان نتيجة المعادلة السابقة هي (١٣,٧٠٣) جدول (٨)، وحسب مؤشر فورنية جدول (٩)، تعد تعرية ضعيفة وتقع ضمن حدود الفئة الأولى لسيطرة الجفاف في أغلب أشهر السنة .

**د - التعرية الأخدودية :** تسقط الأمطار في منطقة الدراسة بشكل فجائي فت تكون مجاري مائية مسليلة قليلة العمق وسريعة التغير، ومع استمرار الجريان تزداد الطاقة الحتية، فتحتول إلى مجاري أوسع يطلق عليها الأخدودات يتراوح عمقها بين (٠,٥ - ١,٥) م صورة (٢)، تساعد على تعرية المواد الجافة والمفككة ولتقدير هذه المواد تم الاعتماد على معادلة (Bergsma) وهي كما يأتي :-

$$AE = \frac{100}{\sum AW}$$

حيث ان

$AE$  = معدل التعرية الأخدودية م / كم<sup>٢</sup>

$AW$  = مجموع أطوال الأخدودات في الوحدة المساحية

$A$  = مساحة الوحدة المساحية في كم<sup>٢</sup>

(جدول - ٨) التعرية المطرية حسب مؤشر فورنيه لفيضات المنطقة من سنة (١٩٨٦ - ٢٠١٦)

مؤشر فورنيه المعدل	المتوسط الشهري للأمطار(ملم)	الأشهر
٢,٥٧٥	١٥,٦	كانون الثاني
١,٨٧١	١٣,٣	شباط
١,٥٤٩	١٢,١	اذار
١,٩٥٧	١٣,٦	نيسان
١,١٠١	٣,١	مايس
صفر	صفر	حزيران
صفر	صفر	تموز
صفر	صفر	آب
صفر	صفر	ايلول
٣,٣٢٠	٥,٢	تشرين الاول
٣,١٦٧	١٧,٣	تشرين الثاني
٢,١٦٣	١٤,٣	كانون الاول
١٣,٧٠٣	٩٤,٥	المجموع

المصدر : من عمل الباحث بالاعتماد على بيانات جدول (٢)

(جدول - ٩) مؤشر فورنيه ارنولدس

شدة التعرية	درجة التعرية
ضعيف	أقل من ٥٠
متعدل	٥٠ - ٥٠
عالي	١٠٠ - ٥٠
عالي جدا	أكثر من ١٠٠

المصدر: عبدالله صبار عبود ، التعرية المائية في حوض سنجار وشوركة شمال غرب السليمانية باستعمال تقنية نظم المعلومات الجغرافية GIS ، مجلة الجمعية الجغرافية العراقية ، الجلد ١، العدد ٥٥ ، ٢٠٠٩ ، ص ٨٣ .

تطلب هذه المعادلة خرائط الارتفاع الرقمي DEM اذ اشتقت منها الشبكة المائية لحوض منطقة الدراسة، بواسطة برنامج نظم المعلومات الجغرافية Arc GIS 9.3 ()، ومن ثم قسم الحوض إلى مربعات مساحة الواحد منها واحد كيلومتر مربع، أعطيت لكل مربع رقم للدلالة على موقعه في الخريطة، وتم تقطيع الشبكة ضمن كل مربع والنتيجة هي (٣٧٧٦٦٣) م مجموع أطوال المجاري المائية، وكان عدد المربعات (٦٤٨) مربع شغلت مساحة قدرها (٢٧١,٩٠٨٦٧٩) كم<sup>٢</sup> .

**(45) أثر التعرية في تكوين فيضات الهضبة الغربية**

عند تطبيق المعادلة السابقة على فيضات منطقة الدراسة، اتضح إن معدل التعرية (١٣٨٨) م<sup>٢</sup>/كم<sup>٢</sup> جدول (١٠) وشكل (٣) وتم الحصول على خمسة فئات للتعرية اذا كان معدل التعرية متوسط وهو ضمن الفئة الثالثة خريطة (٢)، لتأثير هذه العملية بدرجة انحدار السطح، وضعف تركيب التربة، وطبيعة تركيب الصخور فضلاً عن ندرة النبات الطبيعي.

**(صورة-٢) التعرية الأخدودية في حوض منطقة الدراسة**

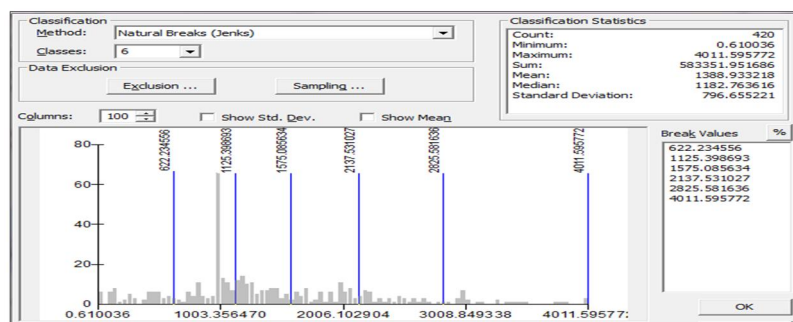


التقطت بتاريخ ٢٠١٨/٥/١٥

**(جدول - ١٠) معدل التعرية الأخدودية**

مجموع أطوال المجاري المائية بالметр	مساحة المرياعات بالكم²	معدل التعرية m/كم²	درجة التعرية
٢٧٧٦٦٢	٢٧١.٩٠٨٦٧٩	١٣٨٨	٣

**(شكل - ٣) التعرية الأخدودية حسب معادلة (Bergsma)**



المصدر: من عمل الباحث بالأعتماد على خرائط الارتفاع الرقمي (Dem) ومعادلة

### Arc map 9.3 (Bergsma) وباستخدام برنامج

بعد ما تم التعرف على درجة التعرية والمساحة المعرضة للتعرية بالметр المربع، هنا سوف نقدر كمية التعرية بالметр المكعب، لذا تم الاعتماد على نموذج (Gavrilovic)، يحتاج هذا النموذج عدد من الطبقات لحساب حجم التعرية المحتملة في منطقة الدراسة، وسوف يتم توضيحها حسب المعادلة الخاصة بالنماذج وكما يأتي :-

$$W = h \cdot T \cdot \pi * \sqrt{z3}$$

اذ تعني :-

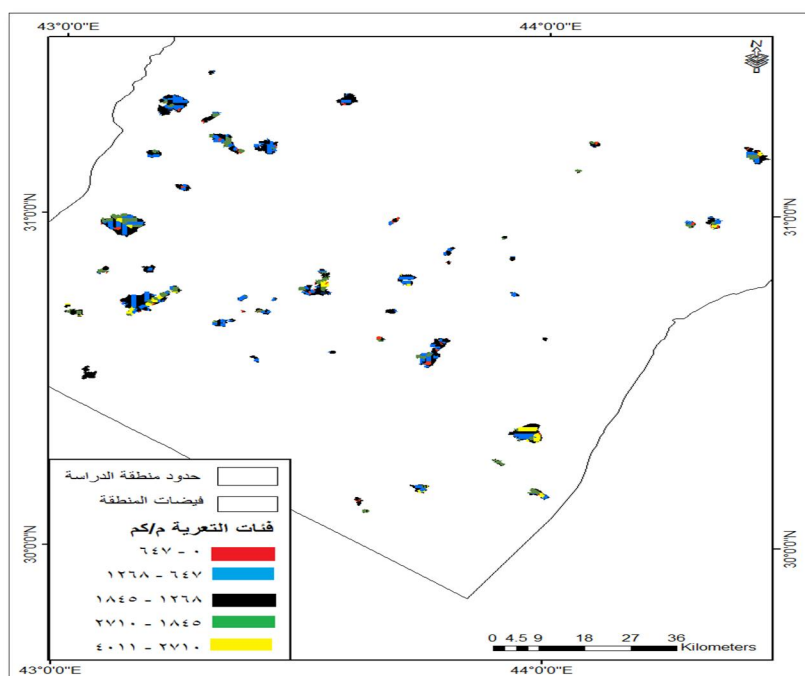
$W$  = معدل التعرية السنوي م/كم<sup>2</sup>.

$h$  = معدل الأمطار السنوي بالمم.

$T$  = معامل الحرارة.

$C$  = المعدل السنوي لدرجة الحرارة.

### (خرائط - ٢) التعرية الأخدودية حسب معادلة (Bergsma)



**أثر التعرية في تكوين فيضات الهضبة الغربية**

المصدر: من عمل الباحث بالاعتماد على خرائط الارتفاع الرقمي (Dem) ومعادلة

Arc map 9.3 (Bergsma) وباستخدام برنامج

بلغ معامل الحرارة (١,٦٠٩) اذا استخرج من المعادلة التالية :-

$$+ 0.1 \sqrt{\frac{c}{10}} T =$$

$Z =$  معامل التعرية المحتمل تم استخراجه بالاعتماد على المعادلة التالية :-

$$Z = Y * X_a * (q + \sqrt{j_a})$$

اذا تعني :-

$Y =$  معامل قابلية التربة للتعرية

بلغ معامل قابلية التربة للتعرية (٠,٧٠) تم استخراجه من خلال جدول (١١) الخاص بالعوامل الوصفية المستخدمة في تقدير قيم معامل التعرية .

$X_a =$  مؤشر حماية التربة تم استخراجه بالاعتماد على المعادلة التالية :-

$$X_a = (NDVI - 0.61) * 1.25$$

اذا تعني :-

$NDVI =$  معامل التغطية المعدل الذي يلائم منطقة الدراسة، والذي استخرج من خلال طرح الباند الرابع من الباند الثالث ومن ثم قسمة الناتج على ناتج جمع الباند الرابع مع الباند الثالث بواسطة برنامج gis 9.3)، ومن ناتج المعادلة السابقة اتضح ان قيمة مؤشر حماية التربة هو (٠,٧٠)، وهو يقع ضمن الأراضي الزراعية المتضررة والمراعي المتضررة .

$q =$  مؤشر التعرية الحالية تم استخراجه بالاعتماد على معادلة Milevsi وكما يأتى :-

$$q = \sqrt{\frac{Tm^3}{Q_{max}}}$$

اذا تعني :-

$Tm^3 =$  الجذر التربيعي للنطاق الثالث لمريئة القمر الصناعي لاند سات (٨) .

$Q =$  القيمة القصوى للإشعاع التي تزداد مع زيادة التعرية .

## (جدول - ١١) العوامل الوصفيّة المستخدمة في تقدير قيم معامل التعرية

<b>Y</b>	<b>معامل قابلية التربة للتعرية</b>
0.3 - 0.1	صخور صلبة ذات مقاومة شديدة
0.5 - 0.3	صخور ذات مقاومة متوسطة
0.6 - 0.5	صخور ذات مقاومة ضعيفة
0.8 - 0.6	ركامات حطامية ورواسب خشنة وترسب صلصالية
1.0 - 0.9	رواسب رملية تاعنة وترسب لا مقاومة لها
<b>Xa</b>	<b>معامل حماية التربة</b>
0.2 - 0.005	من غابات كثيفة إلى متوسطة الكثافة
0.4 - 0.2	غابات صنوبرية وأشجار بمعمرة على جواب القنوات المائية
0.6 - 0.4	مراعي وغابات أو أراضي زراعية متضررة
0.8 - 0.6	أراضي زراعية ومراعي متضررة
1.0 - 0.8	أراضي جرداء
<b>Q</b>	<b>معامل تطور التعرية وتتطور شبكة الصرف المائي</b>
0.2 - 0.1	تعرية ضعيفة في حوض التصريف المائي
0.5 - 0.3	تعرية في القنوات المائية تتراوح ما بين ٢٠٪ إلى ٥٠٪
0.7 - 0.6	تعرية في الآثار والآخدود
0.9 - 0.8	تعرية تصل إلى حد الانزلاقات الأرضية
1	التعرية تشمل جميع أنحاء حوض التصريف

Zorn,M, and komacb .(2008): Qesponse of soil erosion to land Use change with:particular reference to the last 200 year (Julian Apls ,western Slovenia).presented at xxlv th conference of the Danubian countries on the Hydrological forecasting and Hydrological Bases of water Management, Bled, Slovenia.

طبقت المعادلة السابقة باستخدام برنامج (gis 9.3)، ومنها اتضح ان قيمة مؤشر التعرية الحالية هي (٠,٢)، وهي تقع ضمن التعرية الضعيفة (جدول - ١٢) .

= اندار السطح . ja

وبعد استخراج المؤشرات السابقة تم تطبيق معادلة معامل التعرية المحتمل، اذ قدر معدل التعرية المحتملة بـ (٠,٧٩٩) م/كم٣ في السنة (خرطة - ٣) وبمتوسط قدره (٠,١٤) (شكل - ٤)، وعند النظر إلى (شكل - ٤) يتضح ان فيضات المنطقة تقع ضمن المعدل (٠,١٤)، أي ان التعرية خفيفة جداً حسب الجدول (١٢) . وبعد ما توفرت القيمة الالزمة لحساب حجم التعرية المحتملة في منطقة الدراسة، تم تعويضها في معادلة (W) ومن نتيجتها اتضح ان معدل التعرية السنوي هو (٣٣٦,٦٧) م/كم٣ في السنة (خرطة - ٤)،

(49) أثر التعرية في تكوين فيضات الفضبة الغربية

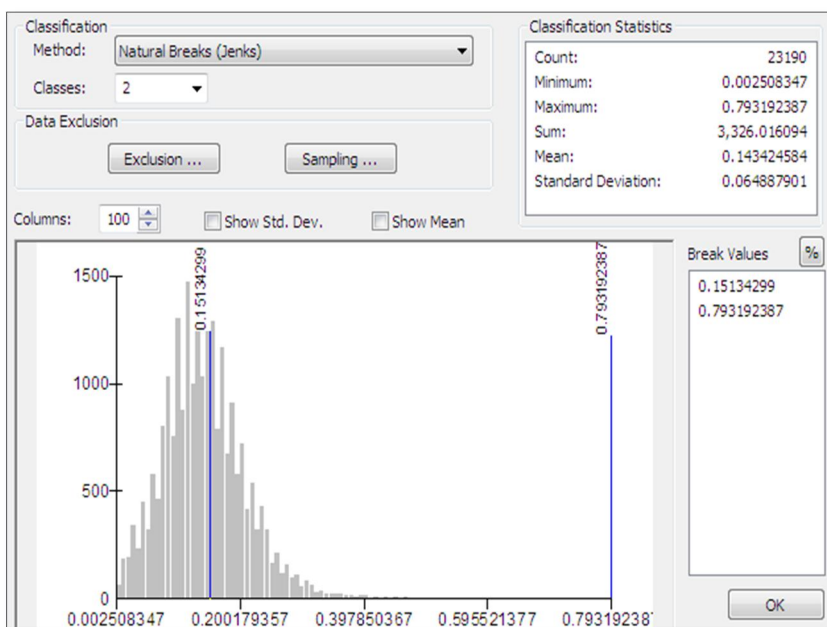
وهي تقع ضمن التعرية المتوسطة جدول (١٣) ويتوسط قدره (٢٧,٦١) م/كم<sup>٢</sup> في السنة شكل (٥) وعند مقارنته مع جدول (١٣) يتبيّن ان التعرية غير واضحة .

**(جدول -١٢) فئات التعرية المحتملة**

معامل التعرية المحتمل	مستوى التعرية المحتملة
١,٥١ - ١,٠١	شديدة جداً
١,٠٠ - ٠,٨١	شديدة
٠,٨٠ - ٠,٦١	متوسط
٠,٤٠ - ٠,٢٠	خفيف
٠,١٩ - ٠,٠١	خفيف جداً

Gavrilovic z.stefanovic.m.miljevic M.and (otric) .(2006):Erosion potential method ,an Im portant support for Integrated water Resource management,presented at xxIIIth Hydrological forecasting and Hydrological fore Bases of water Management, Bled,Slovenia .

**(شكل -٤) معامل التعرية المحتمل**



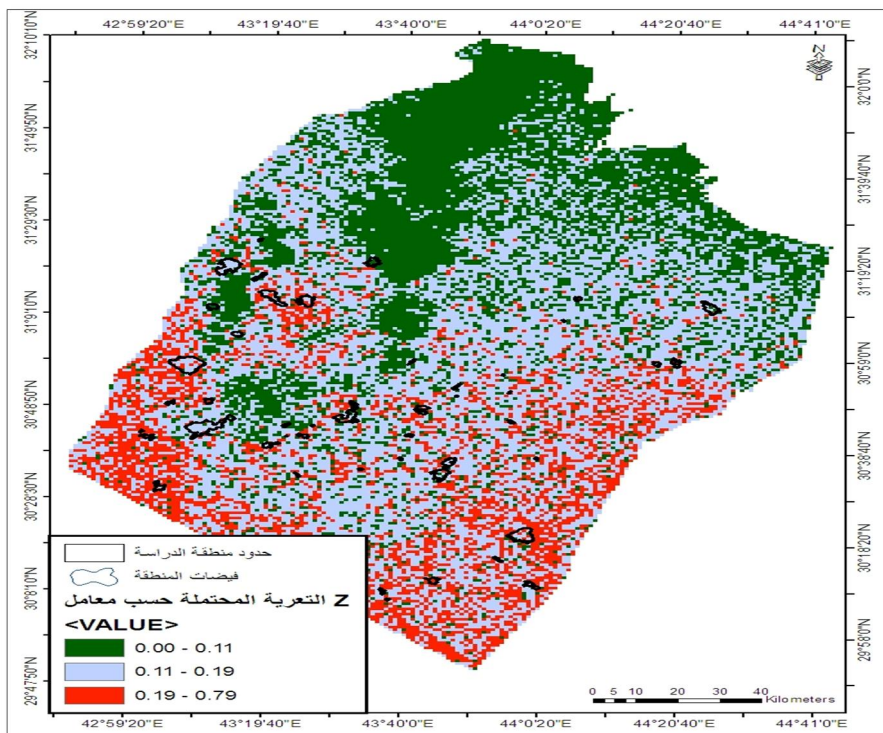
المصدر: من عمل الباحث بالاعتماد على مرئية القمر الصناعي لاند سات (٨) و البيانات المناخية لمحطة النجف وباستخدام برنامج Arc map 9.3 .

### ٣- الترسيب النهري والأسkal الناتجة عنه :

تبدأ عملية الترسيب في منطقة الدراسة عندما تتناقص سرعة المياه، بسبب اتساع الوديان وانخفاض سطح الأرض بشكل م-curvy لاستقبال رواسب الوديان، وتحدث هذه العملية عند نهايات الوديان أو التقاء المراتب النهرية التي تصب في مرتبة أعلى، أو بسبب قلة كمية المياه نتيجة سرعة التبخّر و النفاذية العالية للتكتونيات الصخرية، والتى تؤدي إلى تناقص كمية المياه، مما يزيد من انتشار الترسيب.

تقوم الوديان بترسيب حمولتها في فيضات منطقة الدراسة وهي الرمال والطين والغرين، وترتيبها منتظم ومدرج من أعلى المجرى إلى أبعد نقطة، إذ يبدأ المجرى المائي بترسيب المواد الأكبر حجماً بمجرد أن تبدأ سرعته بالتناقص، فيرسّب الصخور ثم الحصى الكبيرة ثم الحصى الصغيرة

**(خريطة - ٣) التعرية المحتملة**



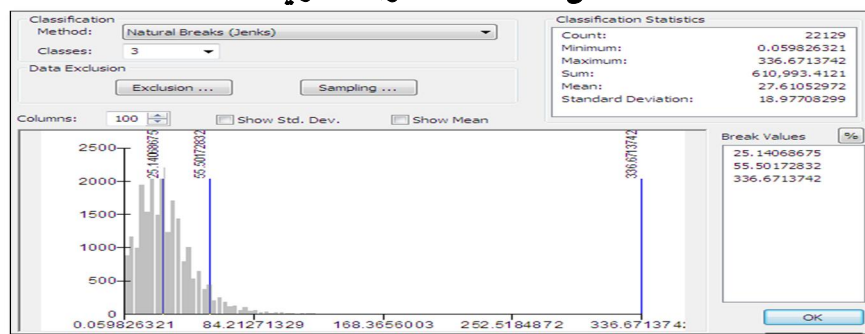
المصدر: من عمل الباحث بالاعتماد على مرئية القمر الصناعي لاند سات (٨) و البيانات المناخية لمحطة التجفف وباستخدام برنامج Arc map 9.3

(جدول - ١٣) مستويات التعرية السنوية

نوع التعرية	حجم التعرية السنوية
٠ -	تعرية غير واضحة
٥٠ - ٥٠	ضعيفة
١٥٠ - ٥٠٠	متوسطة
٥٠٠ - ١٥٠٠	شديدة
٢٠٠٠ - ٥٠٠٠	شديدة جداً
أكثر من ٢٠٠٠	خطيرة جداً

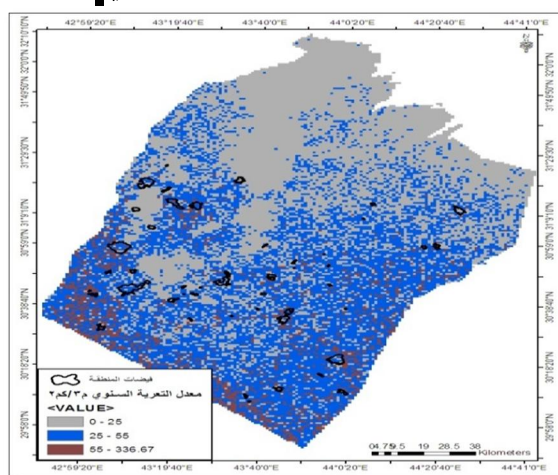
Zachar D.1982 soil Erosion Amsterdam Elserier science publishing company 547

(شكل - ٥) معدل التعرية السنوي



المصدر: من عمل الباحث بالاعتماد على مرئية القمر الصناعي لاند سات (٨) و البيانات المناخية لمحطة النجف وباستخدام برنامج Arc map 9.3

(خرائط - ٤) معدل التعرية السنوي



**أثر التعرية في تكوين فيضات الهضبة الغربية**

(52)

المصدر: من عمل الباحث بالاعتماد على مؤئية القمر الصناعي لاند سات (8) و

البيانات المناخية لمحطة النجف وباستخدام برنامج Arc map 9.3

وأخيراً الرمال والغرين والطين .

بعدما تم تقدير تعرية الرياح والتعرية المائية، سيتم تقدير الترسيب المائي في فيضات منطقة الدراسة، لاستخدامه في المقارنة بين تعرية الرياح والتعرية المائية لعرفة فرق التعرية والترسيب للتوصيل إلى اثر التعرية بنوعيها على عمليات التخفيف في فيضات المنطقة .

تم تقدير الرواسب القاعية لمنطقة الدراسة بالاعتماد على المعادلة التالية<sup>(٨٠ص٧)</sup> وكما يأتي :-

$$\text{الرواسب القاعية} = \frac{\text{الرواسب العالقة}}{100} \times 15$$

100

ولتطبيق هذه المعادلة نحتاج إلى الرواسب العالقة اذ تم استخراجها من المعادلة التالية<sup>(٨١ص٨٧)</sup> وكما يأتي :-

$$S = \frac{4.927}{10} Q 1.235$$

إذ تعني :-

S = الرواسب العالقة ألف طن يومياً .

Q = التصريف المائي م³/ثا.

ولتطبيق هذه المعادلة نحتاج إلى التصريف المائي اذ تم استخراجه من المعادلة التالية<sup>(٩٢ص١٢٥)</sup> وكما يأتي :-

R = P1 - L      R = التصريف النهري ويستخرج من المعادلة التالية :-

P1 = الأمطار الشهرية بالستيمتر

L = الضائعات الشهرية وتستخرج من المعادلة التالية :- L = 0.48T

T = متوسط الحرارة الشهرية

عند تطبيق المعادلات السابقة على منطقة الدراسة، اتضح إن معدل التصريف (٥,٥٠٧)م³/ثا جدول (١٤) وكانت الرواسب العالقة (٣,٣٥٠٩٢) مليون طن في السنة في

حين كانت الرواسب القاعية (٠,٥٠٢٦٣٨) مليون طن في السنة

**(جدول - ١٤) المجموع الكلي للتصريف والرواسب في منطقة الدراسة**

المعدل من سنة ١٩٨٦ - ٢٠١٦		
الرواسب القاعية	الرواسب العالقة	التصريف م/ثا
٠.٥٠٤٦٣٨	٣.٣٥٠٩٢	٥.٥٠٧

عند مقارنة مقدار التعرية الريحية والمائية بالترسيب المائي نجد انه قد بلغت تعرية الرياح (١٩,٠٤٨) طن/هكتار أي ما يعادل (١٩٠,٤) طن/كم<sup>٣</sup> اذ تم ضرب النتيجة في (١٠٠)، أما تعرية المياه فقد بلغت (٢٧,٦١) م<sup>٣</sup>/كم<sup>٣</sup> أما الترسيب فقد بلغ (١٨٨٨,٩٦٣١١) طن/كم<sup>٣</sup>، وبلغ الفرق ما بين تعرية الرياح والترسيب (١٩,٤٣٦٨٩٠) طن/كم<sup>٣</sup> أي ما يعادل (١٢٥٩,٣٠٦٦٦٦) متر مكعب باعتبار كل ١,٥ طن يساوي متر مكعب واحد (❖)، وعند تقسيم الناتج على واحد كم<sup>٣</sup> أي على (١٠٠٠٠٠) يتم الحصول على (٠,٠٠١٢٥٩٣٠٦٧) وعند ضرب النتيجة في (١٠٠٠٠٠) باعتبار المتر المكعب يساوي مليون سـم<sup>٣</sup> يتم الحصول على (١٢٥٩) سم<sup>٣</sup> أي كل متر مربع يتعرى منه (١٢٥٩) سم<sup>٣</sup>/م<sup>٢</sup> سنة وعند تقسيم المتر المكعب على النتيجة السابقة نحصل على (٧٩٤) أي تحتاج فيضات منطقة الدراسة (٧٩٤) سنة لكي تخفض متر مكعب واحد .  
أما عندما تم طرح التعرية المائية أي طرح (٢٧,٦١) م<sup>٣</sup>/كم<sup>٣</sup> وهو ما يعادل (٢٧,٦١) طن/كم<sup>٣</sup> من الترسيب والبالغ (١٩,٤٣٦٨٩٠) طن/كم<sup>٣</sup> تم الحصول على (٨,١٧٣١١) طن/كم<sup>٣</sup> اذ يعادل (٥,٤٤٨٧٤) م<sup>٣</sup>/كم<sup>٣</sup> قسمة هذه النتيجة على كم<sup>٣</sup> وكانت النتيجة (٥,٤٤٨٧) م<sup>٣</sup>/م<sup>٢</sup> سنة أي تخفض فيضات واحد متر لكل (١٨٣٥٣٠) سنة .

\* تم معرفة الحجم من خلال :- كور دائري قطره (٧) سم و ارتفاعه (٢٦) سم و النتيجة حجمه (١٠٠٠) سم مكعب مولئ بالترابة وكان وزنها (١٥٠٠) غم وعند ضرب النتيجة في (١٠٠٠) باعتبار المتر المكعب (١٠٠٠٠٠٠) سم<sup>٣</sup> يتم الحصول على (١٥٠٠٠٠٠) غم/م<sup>٣</sup> أي ما يعادل (١,٥) طن وعند تقسيم الناتج على (١٠٠٠٠٠) يتم الحصول على (١,٥) غم/سم<sup>٢</sup> .

حسب النتائج السابقة تزيل التعرية الريحية ( $1259$ ) سم $^3$ /م $^2$  مقارنة بالتعرية المائية التي تزيل ( $5,4487$ ) سم $^3$ /م $^2$  أي التأثير الأكبر للتعرية الرياح ويعزى ضعف تعرية المياه إلى كون الفيضات تقع عند نهاية الوديان أو عند التقائها صورة (٣) وهذا يسبب انخفاض سرعتها، ففي أقسامها العليا تكون سريعة الجريان، نظراً لأنحدار الأرض بينما تقل سرعتها عند الفيضات لقلة الانحدار، وهذا جعلها حوض يستقبل الرواسب أكثر من المواد التي تم تعريتها.

(صورة - ٣) التقاء المراتب النهرية التي تكون الفيضات



التقطت بتاريخ ٢٠١٨/٥/١٥

### الاستنتاجات

بلغت تعرية الرياح ( $19,048$ ) طن/هكتار أي ما يعادل ( $1908,4$ ) طن/كم $^2$ ، أما تعرية المياه فقد بلغت ( $27,61$ ) م $^3$ /كم $^2$  أما الترسيب فقد بلغ ( $19,436890$ ) طن/كم $^2$ ، وبلغ الفرق ما بين تعرية الرياح والترسيب ( $1888,96311$ ) طن/كم $^2$  أي ما يعادل ( $1259,306666$ ) متر مكعب، ويعادل ( $1259$ ) سم $^3$  أي كل متر مربع يتعرى منه ( $1259$ ) سم $^3$ /م $^2$  /سنة وعند تقسيم المتر المكعب على النتيجة السابقة نحصل على ( $794$ ) أي تحتاج فيضات منطقة الدراسة ( $794$ ) سنة لكي تنخفض متر مكعب واحد. أما عندما تم طرح التعرية المائية أي طرح ( $27,61$ ) م $^3$ /كم $^2$  وهو ما يعادل ( $27,61$ ) طن/كم $^2$  من الترسيب والبالغ ( $19,436890$ ) طن/كم $^2$  تم الحصول على ( $8,17311$ ) طن/كم $^2$  اذ يعادل ( $5,44874$ ) م $^3$ /كم $^2$  قسمة هذه النتيجة على كم $^2$  وكانت

النتيجة (٥٤٤٨٧) م٣/م أي ما يعادل (٥,٤٤٨٧) سم٣/م٢/سنة أي تخفض الفيضات واحد متر لكل (١٨٣٥٣٠) سنة .

حسب النتائج السابقة تزيل التعرية الريحية (١٢٥٩) سم٣/م٢ مقارنة بالتعرية المائية التي تزيل (٥٤٤٨٧) سم٣/م٢ أي التأثير الأكبر للتعرية الرياح ويعزى ضعف تعرية المياه إلى كون الفيضات تقع عند نهاية الوديان أو عند التقائها صورة (١٢) وهذا بسبب انخفاض سرعتها، ففي أقسامها العليا تكون سرعة الجريان، نظراً لأنحدار الأرض بينما تقل سرعتها عند الفيضات لقلة الانحدار، وهذا جعلها حوض يستقبل الرواسب أكثر من المواد التي تم تعريتها .

#### قائمة المصادر والمراجع

- ١- فاروق صنع الله العمري، مبادئ علم الجيولوجيا ، ط١ ، دار الكتاب الجديد المتحدة ، بيروت لبنان ، ٢٠٠١ .
- ٢- زاخار، دي ، تعرية التربة ، ترجمة نبيل إبراهيم الطيف وحسوني جدوع، مطبع التعليم العالي، الموصل، ١٩٩٠ .
- ٣- علي صاحب طالب الموسوي، عبد الحسن مدفون أبو رحيل ، مناخ العراق ، كلية التربية للبنات ، جامعة الكوفة ، ط١ ، دار الكتب والوثائق بيغداد ، ٢٠١٣ .
- ٤- عبد الله سالم المالكي، العلاقة الفصلية والمكانية بين التعرية الريحية للتربة وتكرار ظواهر الجو الغبارية في حافظتي البصرة وذي قار، مجلة آداب ذي قار ، كلية الآداب ، جامعة البصرة ، العدد العاشر، المجلد واحد ، ٢٠١١ .
- ٥- أحمد أحمد مصطفى، سطح الأرض ، دار المعرفة الجامعي الإسكندرية ، ٢٠٠٣ .
- ٦- عبد الله صبار عبود ، التعرية المائية في حوض سنجار وشورة شمال غرب السليمانية باستعمال تقنية نظم المعلومات الجغرافية GIS ، مجلة الجمعية الجغرافية العراقية ، الجلد ١ ، العدد ٥٥ ، ٢٠٠٩ .
- ٧- رقية أحمد محمد أمين العاني، جيومورفولوجية سهل ألسندي، أطروحة دكتوراه (غير منشورة) ، كلية التربية، جامعة الموصل ، ٢٠١٠ .
- ٨- سعيد حسين الحكيم، هيدرولوجية نهر دجلة، أطروحة دكتوراه (غير منشورة) ، كلية الآداب، جامعة بغداد ، ١٩٨١ .

**أثر التعرية في تكوين فيضات الهضبة الغربية**

٩- أحمد عبد الله أحمد حمادي، دور العمليات الجيومورفولوجية في تشكيل المظهر الأرضي لجزيرة سقطرى، أطروحة دكتوراه (غير منشورة)، كلية التربية (ابن رشد)، ٢٠٠٣.